

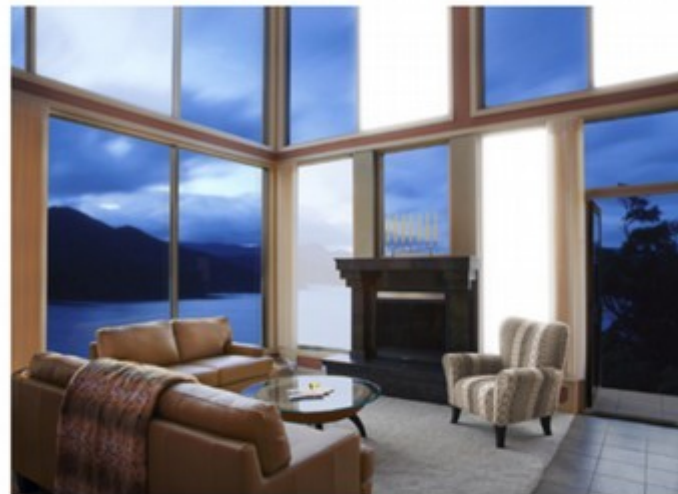
# Organická elektronika & vrstvy funkčních molekul

# Organická elektronika na trhu

## Televisions and Displays (LG)



## Solid-State White Lighting (Siemens)



## Smartphones (Samsung)



## Emerging Applications (Samsung)



# Fyzikálně chemický základ

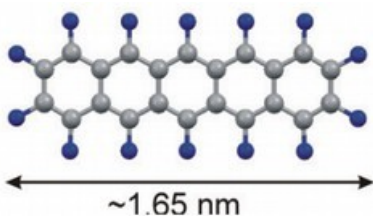
# Organická polovodiče

## Materiály – organické polovodiče

- typicky molekuly obsahující  $\pi$ -konjugovaný systém elektronů
- malé molekuly nebo polymery
- existují organické polovodiče **p-typu a n-typu**
- modifikace optických a elektrických vlastností lze dosáhnout míšením molekul a chemickou modifikací (např. fluorinací)

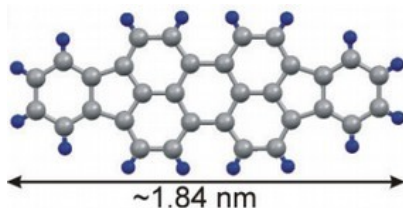
## Příklady – malé molekuly

Pentacen



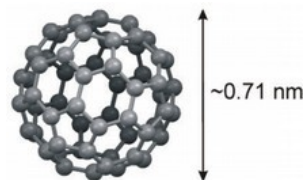
Polovodič typu p

Diindenoperylen



p-typ

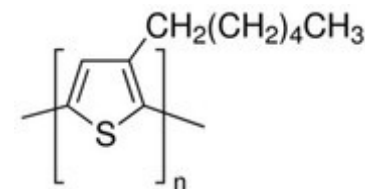
Buckminsterfulleren, C60



n-typ

## Příklady – polymer

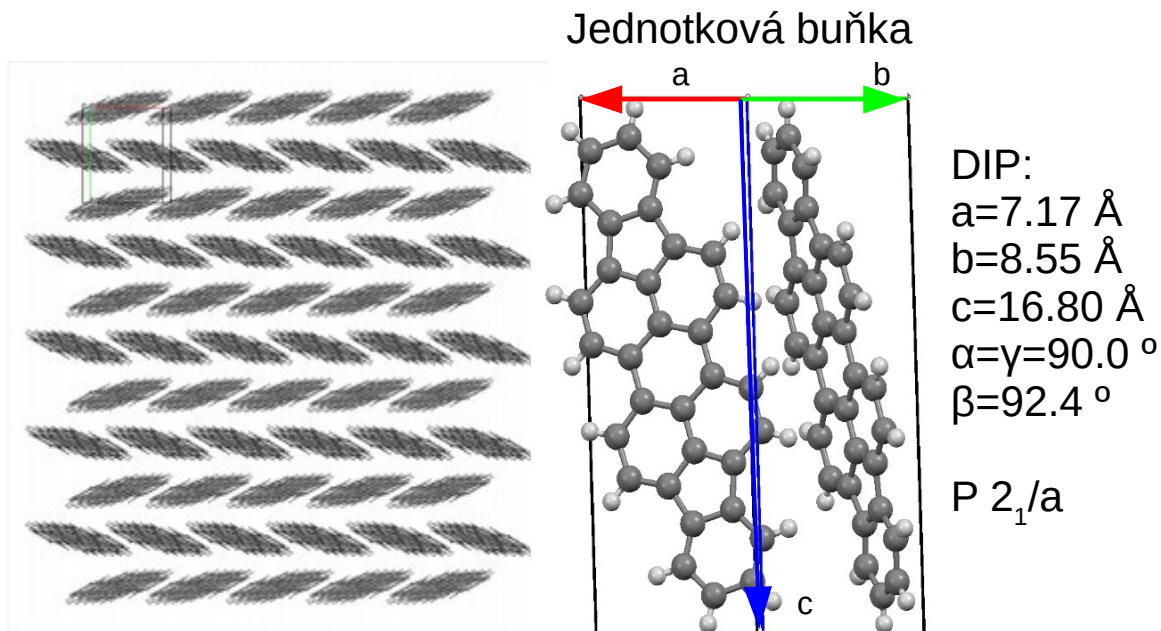
P3HT - Poly(3-hexylthiophene-2,5-diyl)



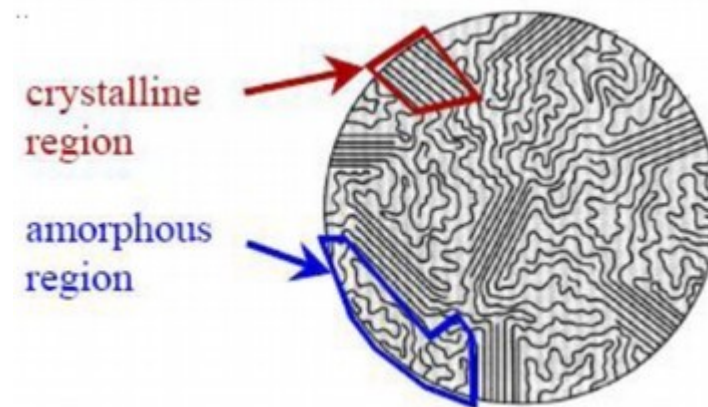
p-typ

Depozice tenkých vrstev: depozice molekulárním svazkem, spin-coating, tisk adaptovanou inkoustovou tiskárnou

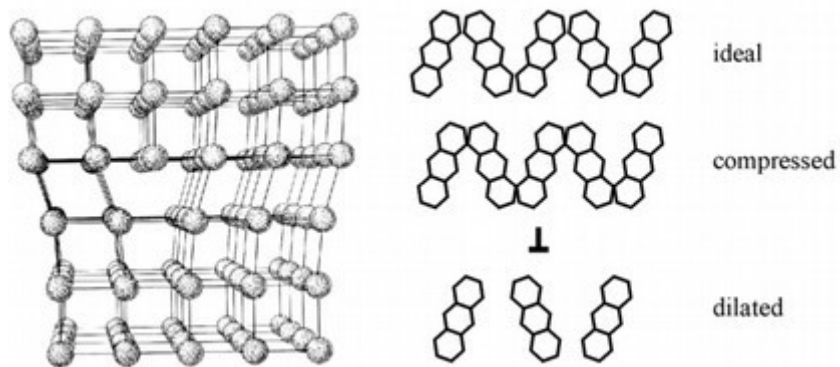
# Uspořádání molekul OP



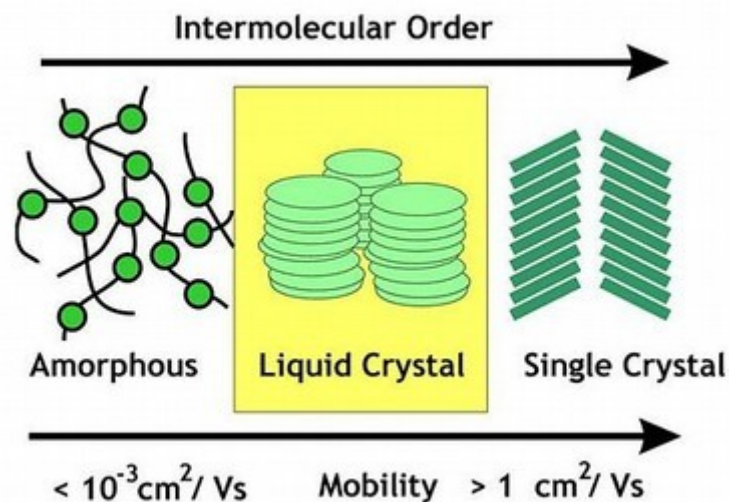
Uspořádání molekul DIP v krystalu  
 Herring-bone struktura – typická pro OP



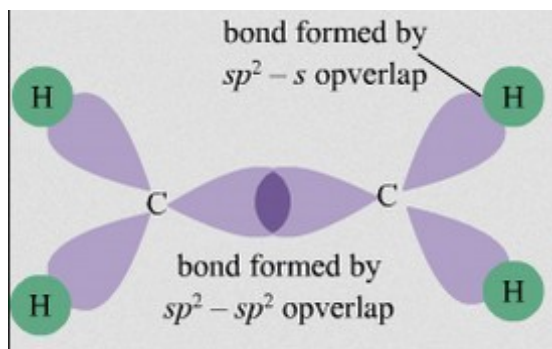
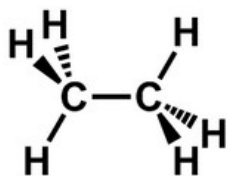
Polymery



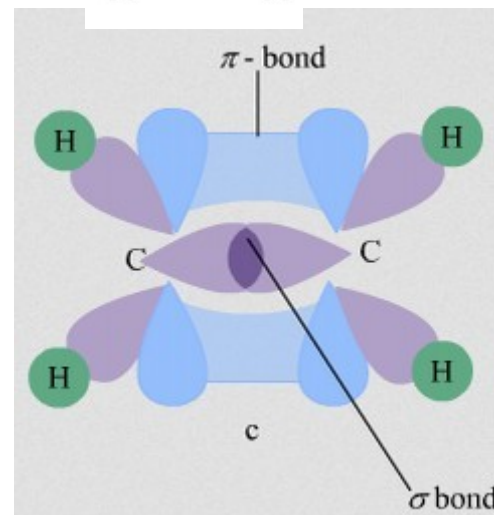
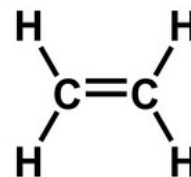
Poruchy v krystalové mříži - dislokace



# $\pi$ vazba



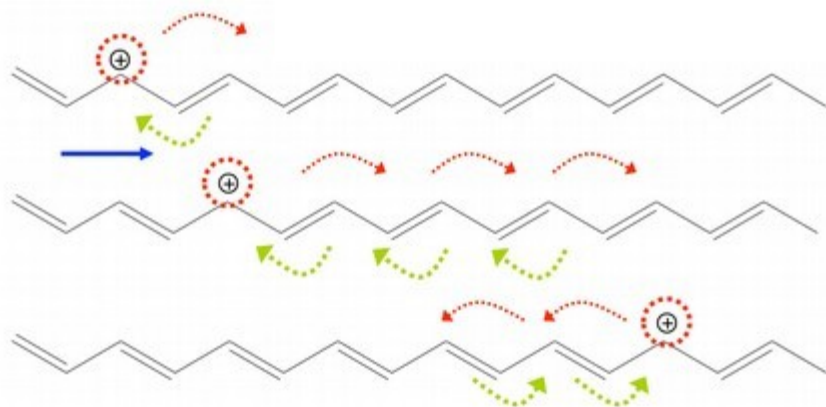
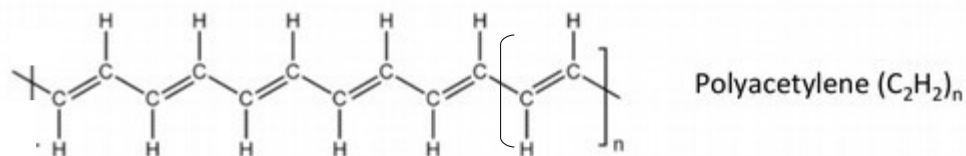
etan



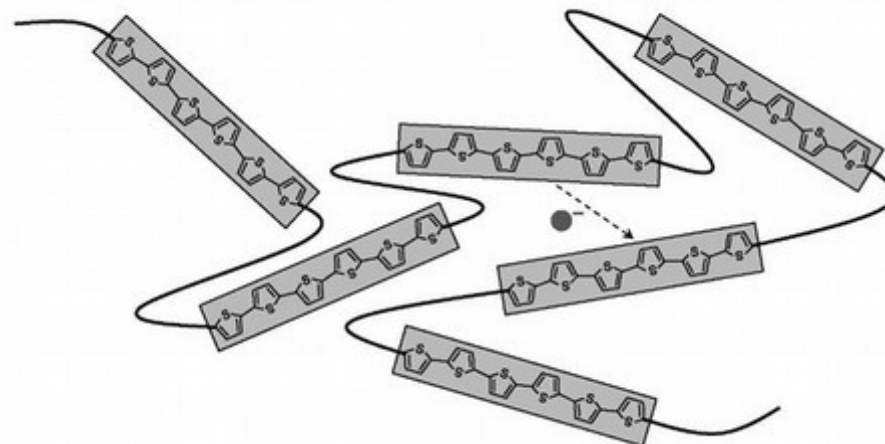
eten

- $\pi$  vazba – překryv  $p_z$  orbitalů sousedních atomů
- $p_z$  orbitaly jsou kolmé na osu C-C ( $\sigma$  vazbu)
- $\pi$  vazba – delokalizovaná elektronová hustota nad a pod rovinou molekul
- $\pi$  vazba je slabá ve srovnání se  $\sigma$  vazbou – vykazuje elektronovou excitační energii v řádech několika eV

# Pohyb náboje v OP



Intramolekulární transport náboje

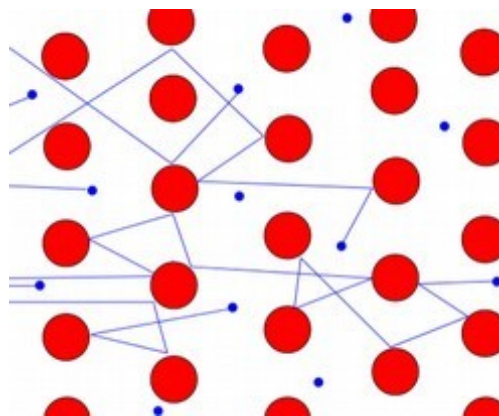


Intermolekulární transport náboje  
(hopping = přeskoky)

- Delokalizace náboje v molekule → nositelé náboje se snadno pohybují podél molekul a polymerů (pohyblivost až  $600 \text{ cm}^2/\text{V}/\text{s}$ ) a jsou na ně vázány
- Mezi sousedními molekulami většinou neexistují vazby, působí mezi nimi jen van der Waalsovy síly
- Mezi sousedními molekulami se pohybují nositelé přeskoky – vede k malé pohyblivosti → max. pohyblivost  $1 - 10 \text{ cm}^2/\text{V}/\text{s}$

# Pohyblivost nosičů náboje

Pohyb náboje v anorganických polovodičích (Si, Ge, GaN) a kovech – Drudeho model



Nositelé náboje se volně pohybují mezi ionty na nichž se rozptylují / brzdí je

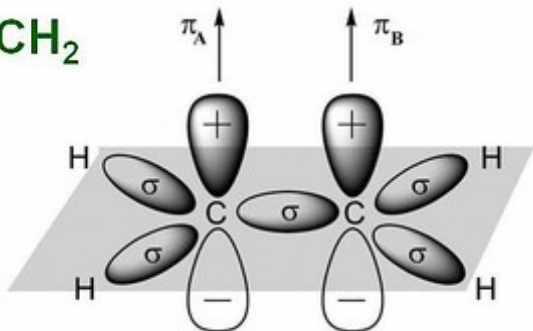
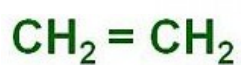
Srovnání pohyblivosti elektronů při pokojové teplotě:

Krystal Si	$\leq 1400 \text{ cm}^2 \cdot \text{V}^{-1} \cdot \text{s}^{-1}$
Ge	$\leq 3900 \text{ cm}^2 \cdot \text{V}^{-1} \cdot \text{s}^{-1}$
Organické polovodiče	$\leq 20 \text{ cm}^2 \cdot \text{V}^{-1} \cdot \text{s}^{-1}$
Amorfní Si	$\leq 0.05 \text{ cm}^2 \cdot \text{V}^{-1} \cdot \text{s}^{-1}$

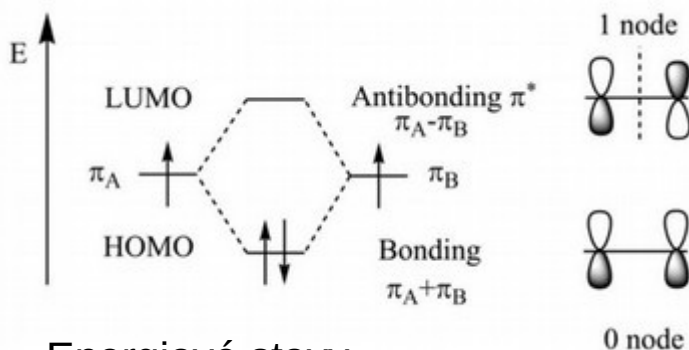
- Pohyblivost nositelů náboje určuje rychlost součástek (např. pracovní frekvenci procesorů)
- Vyšší uspořádanost (krystalinita) u organických polovodičů → vyšší pohyblivost nábojů



# Energiové stavy v OP



Eten

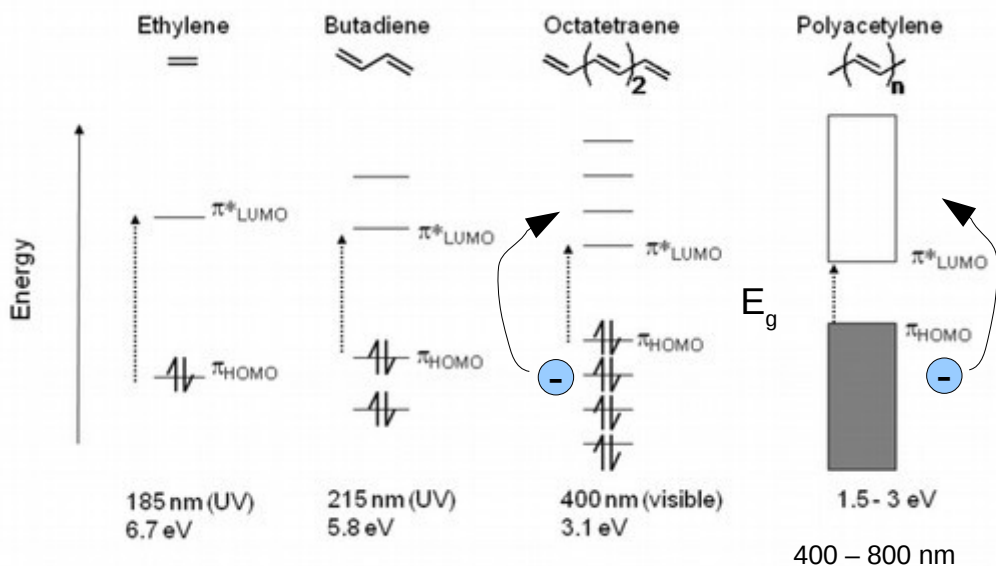


Vyšší energiový stav  
znaménko vlnových  
funkcí opačné

Energiové stavy

LUMO = nejnižší neobsazený molekulární orbital

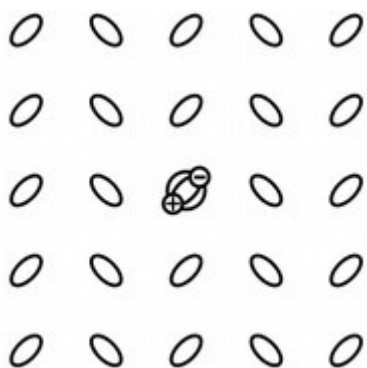
HOMO = nejvyšší obsazený molekulární orbital



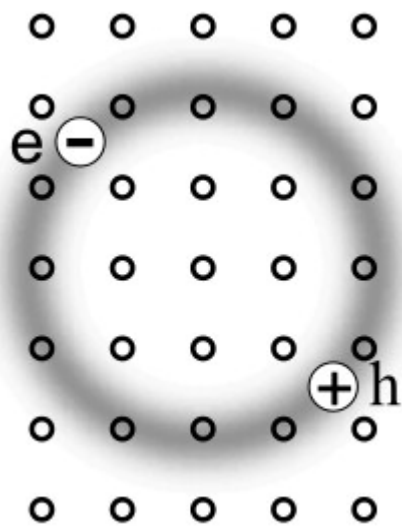
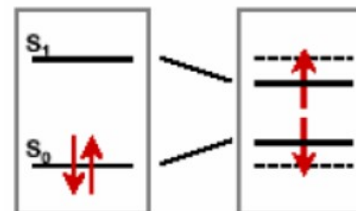
- S prodlužujícím se řetězcem polyenu se zvyšuje množství energiových stavů pod HOMO a nad LUMO
- V limitním  $n \rightarrow \infty$  případě je energiový diagram podobný ED anorganických polovodičů
- Elektron může být fotonem excitován z valenčního do vodivostního pásu a zanechat za sebou díru
- Šířka zakázaného pásu  $E_g$  určuje barvu pohlcovaného světla

# Exciton

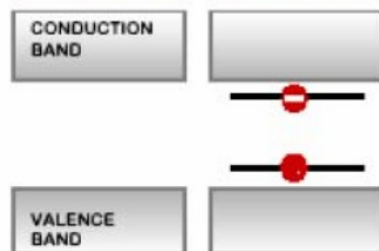
Exciton = **korelovaný pár elektronu a díry**



- **Organické polovodiče**
- **Frenkelův exciton** – lokalizovaný na jedné molekule
- Může se pohybovat mezi molekulami v této formě
- Typický poloměr 1 nm, vazebná energie 1 eV

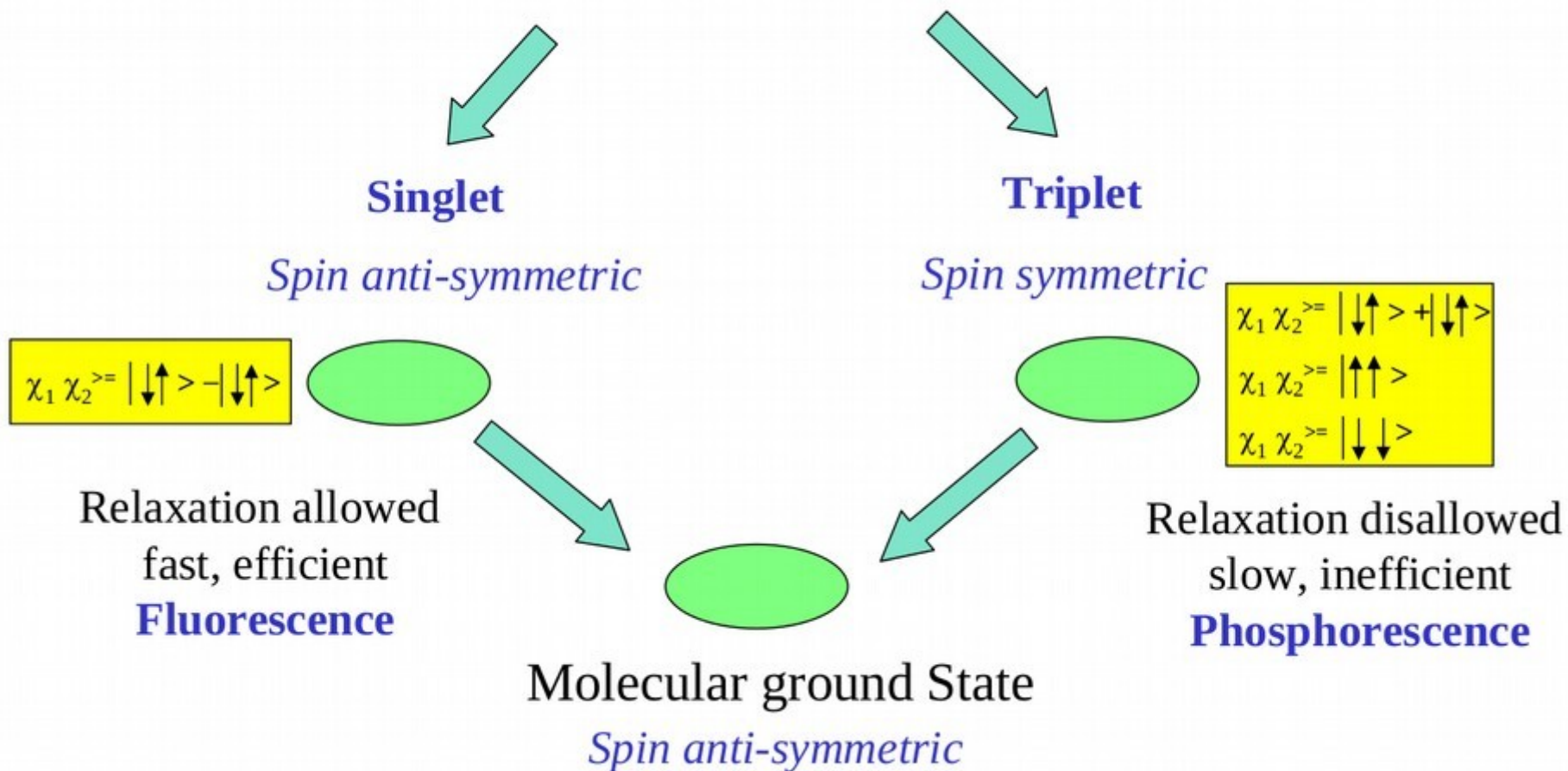


- **Anorganické polovodiče**
- **Wannierův exciton**
- Může se pohybovat skrz mřížku
- Typický poloměr 10 nm, vazebná energie 100 meV

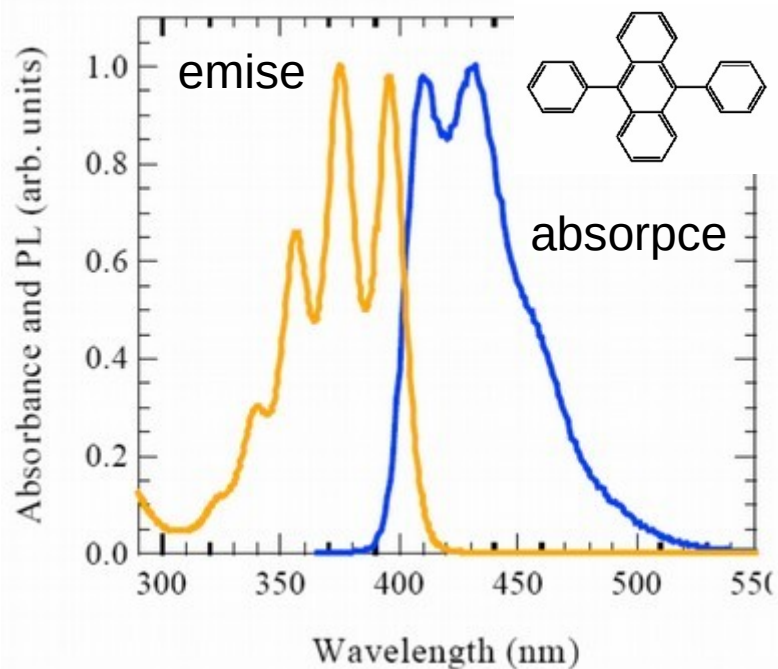


# Relaxace excitonů


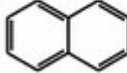
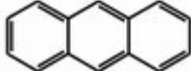
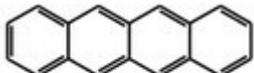
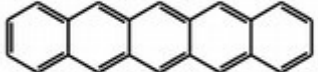

Molecular excited states after electrical excitation



# OP – laditelnost optických vlastností



Absorbční a fotoluminiscenční spektrum molekuly DPA

Molecule		Absorption
Benzene		254 nm
Naphthalene		311 nm
Anthracene		375 nm
Tetracene		471 nm
Pentacene		582 nm
Pyrene		352 nm

- maximum absorpce a fotoluminiscence v blízké UV, viditelné až blízké infračervené oblasti → vhodné pro optoelektronické aplikace
- maximum absorpce se posouvá k delším vlnovým délkám s rostoucí délkou řetězce s  $\pi$ -konjugovaným systémem elektronů

# Přednosti a nevýhody OP

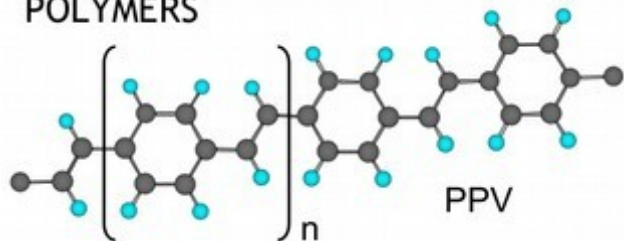


- Nízké náklady a flexibilita
- Produkce na velké plochy
- Jednoduchá chemická laditelnost vlastností
- Integrovatelnost s anorganickými materiály

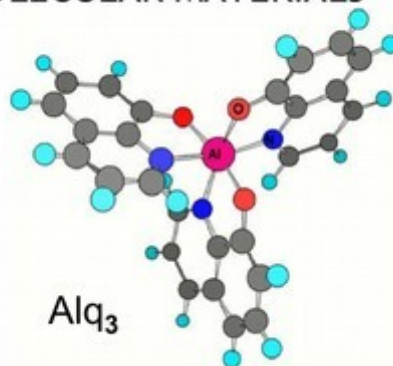


- Stabilita – degradace na vzduchu a ve vlhku
- Kontrola tloušťky u polymerů
- Malá pohyblivost nositelů náboje (pomalé)

POLYMERS

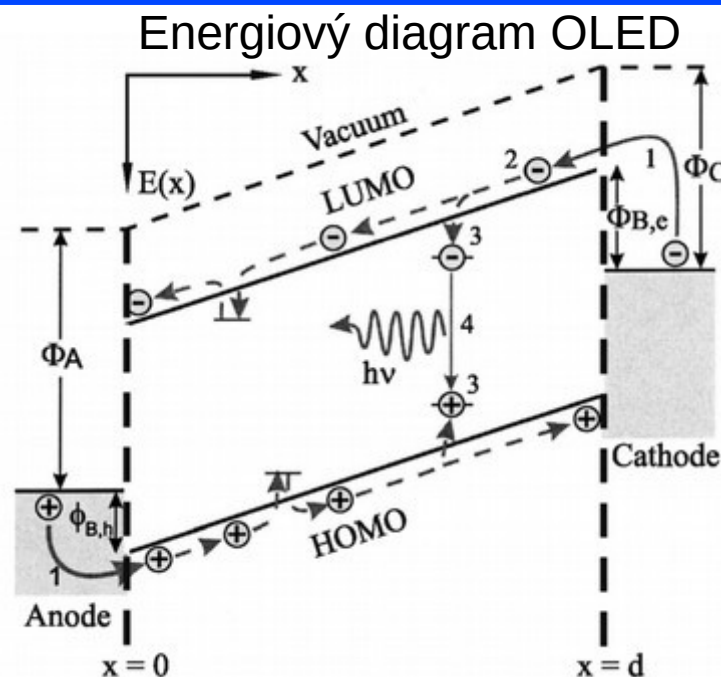
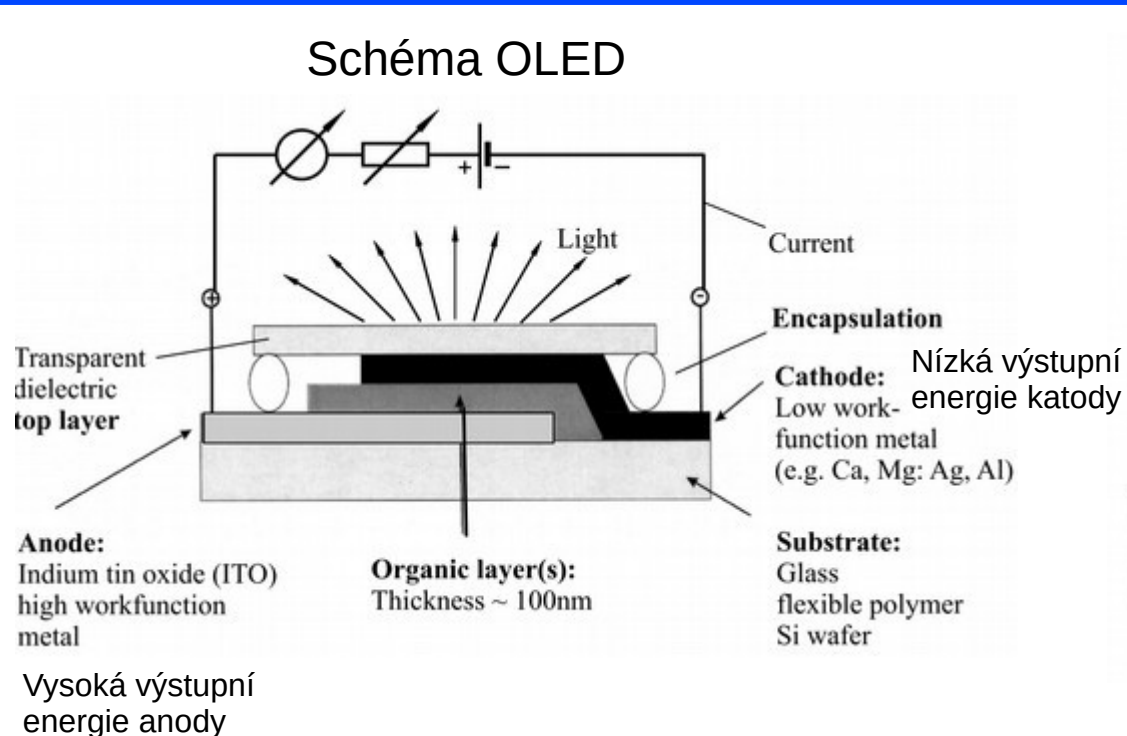


MOLECULAR MATERIALS



# Aplikace – OLED (organické světelné diody)

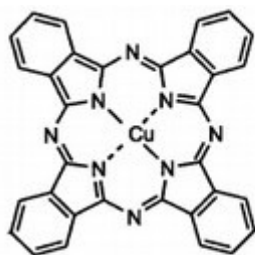
# Princip OLED



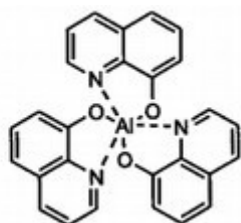
## Procesy:

- 1) Elektrony a díry jsou injikovány z elektrod do organického polovodiče  
Elektrony z katody  $\rightarrow$  LUMO, Díry z anody  $\rightarrow$  HOMO
- 2) Transport nosičů k protilehlým elektrodám (proud díky potenc. rozdílu na elektrodách)
- 3) Vytvoření vázaného páru elektron-díra při „setkání“ nositelů = Frankelův exciton
- 4) Rekombinace elektronu a díry za emise fotonu (luminiscence)

# Často používané materiály OLED



CuPc



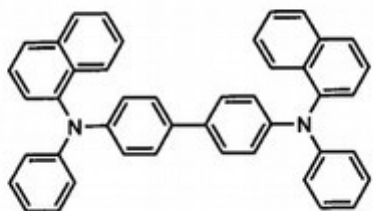
Alq<sub>3</sub>

Tris-(8-hydroxyquinoline)aluminum

Nízkomolekulární materiály -  
nanášeny napařováním



S-NPB



NPB



S-TAD

NPB= N,N'-Di(1-naphthyl)-N,N'-diphenyl-(1,1'-biphenyl)-4,4'-diamine

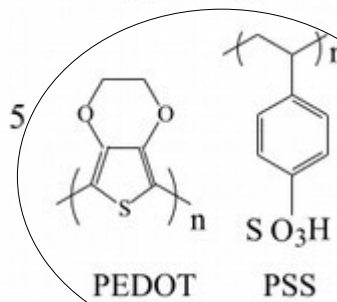
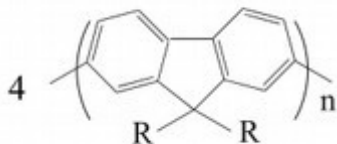
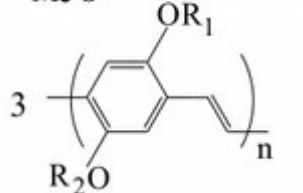
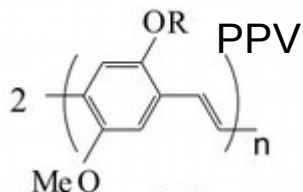
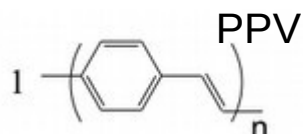
S-TAD = S,S dimethylsulfoxyimin-triazolinedion

PPV = polyphenylene vinylene

PEDOT:PSS = poly(3,4-ethylenedioxythiophene) + polystyrene sulfonate  
směs polymerů

Monomery pro polymerní vrstvy  
nanášeny spincoatingem a tiskem

PEDOT:PSS materiál pro anody – vodivý polymer





# Efektivita OLED

**Kvantová výtěžnost (efektivita)** – počet emitovaných fotonů na počet injektorových nábojů

Zahrnuje vnitřní a vnější kvantovou výtěžnost

$$\eta_{ext} = \eta_r \phi_f \chi \eta_{out} = \eta_{int} \eta_{out}$$

$\eta_r$  Pravděpodobnost rekombinace elektronu a díry – poměr děr a elektronů, které byly injektorových a transportovány až do rekombinační oblasti ( přibližuje se 1)

$\phi_f$  Fluorescenční kvantová efektivita ( přibližuje se 1)

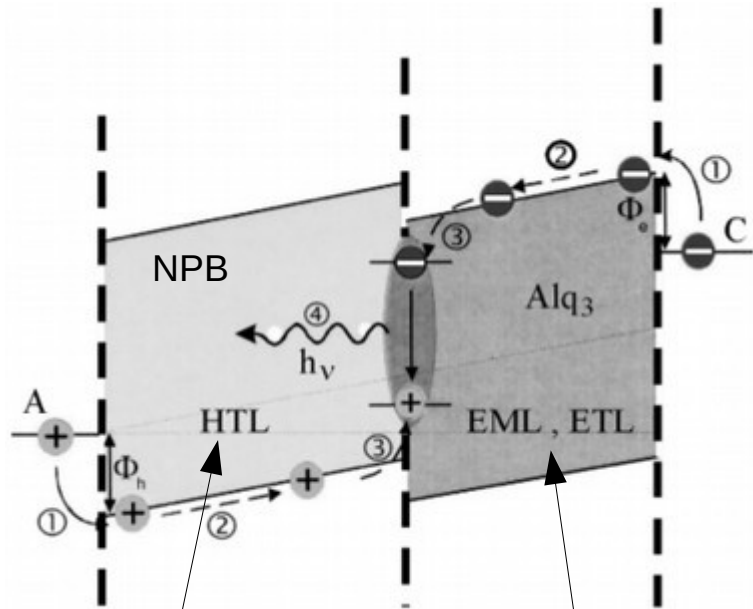
$\chi$  Pravděpodobnost vzniku singletového excitonu ( přibližuje se 25 %) (tripletové excitony nemohou rekombinovat s vyzářením fotonu – zachování spin čísla)

$\eta_{out}$  Podíl fotonů vycházejících (unikajících) ze součástky ( přibližuje se 20 %)

V klasických OLED systémech je externí kvantová výtěžnost ~4-5%

# Zvyšování efektivity

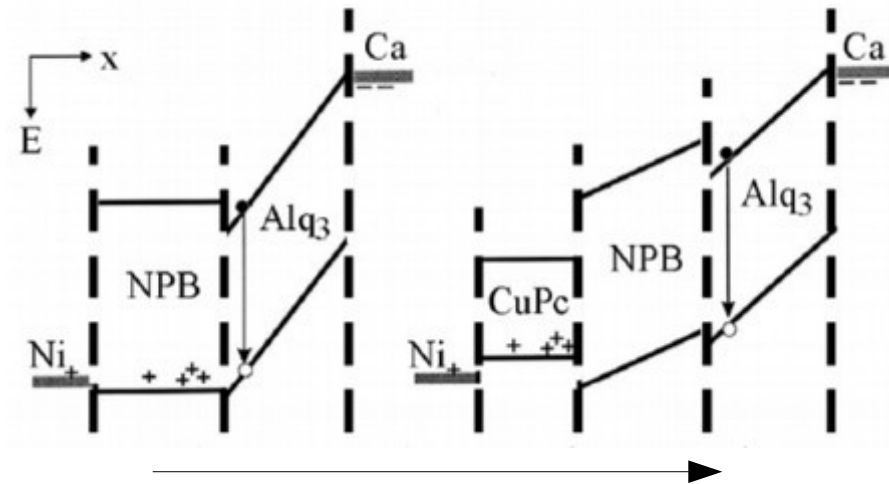
Řešením je multivrstva organických polovodičů + přídatné anorganické vrstvy



Děrová transportní vrstva (HTL)      Elektronová transportní vrstva (ETL)

Efektivnější přenos příslušných nositelů n. Poměr el. a děr v rekombinační oblasti 1

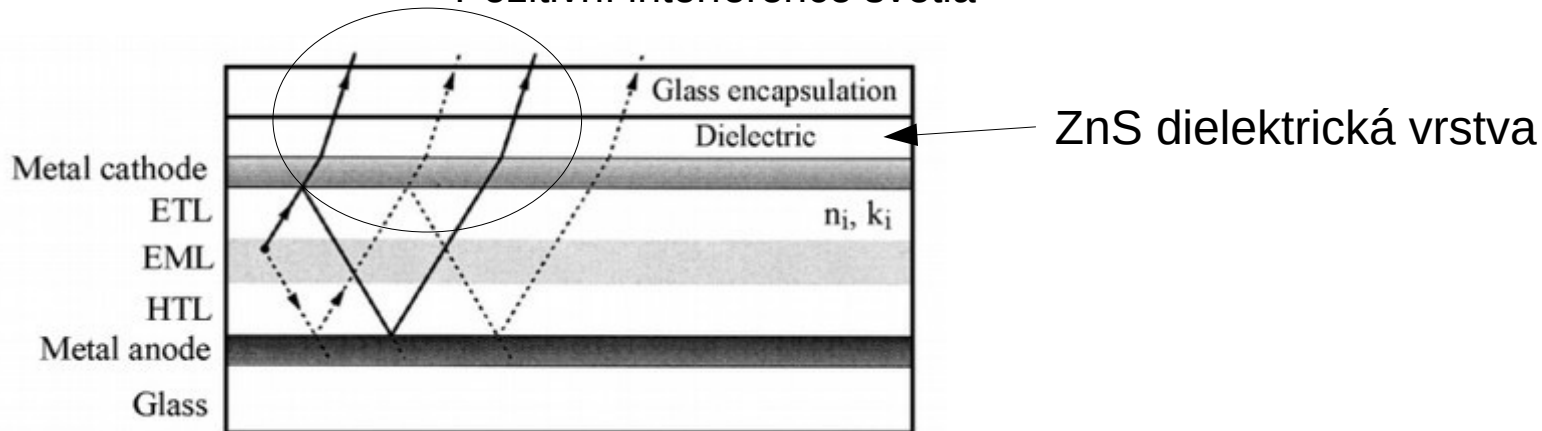
$$\eta_r \rightarrow 1$$



Vrstva ftalocyaninu mědi (CuPc) optimalizuje rozložení el. pole a chrání Alq3 před nadměrným množstvím děr, které by způsobovali degradaci Alq3.

# Zvyšování efektivity

Pozitivní interference světla

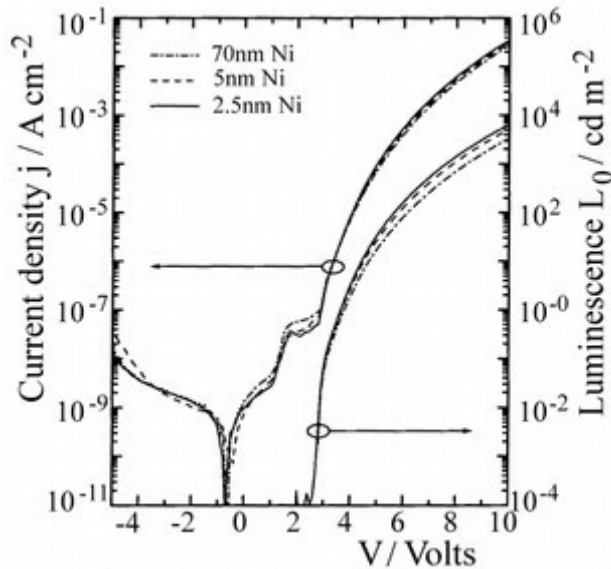


Přidání ZnS vrstvy nad Ca katodu + optimalizace tloušťky vrstvy

→ pozitivní interference přímo vyzařovaného světla a světla odraženého na anodě

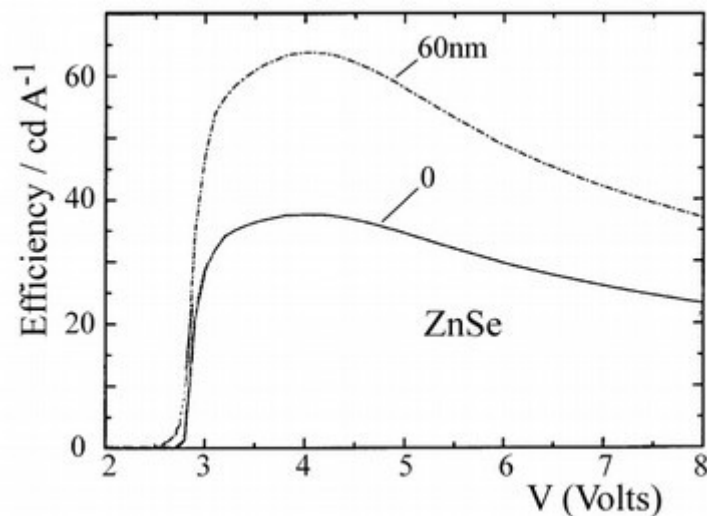
→ účinnější „vyvázání“ světla  $\eta_{out}$  a čistší barvy

# Zvyšování efektivity



Optimalizace tloušťky Ni anody na Al substrátu

- takto zvýšení účinnosti 1.6
- při tloušťce Ni 2.5 nm je Ni průhledné a dochází k odrazu světla na Al substrátu s vysokou reflektivitou

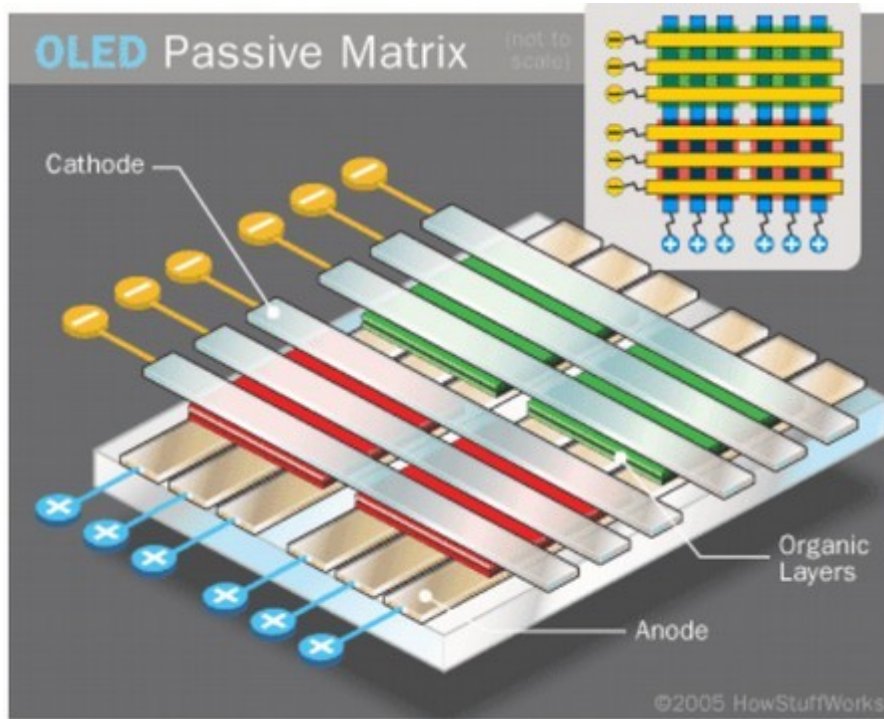


Přidání 60 nm tlusté antireflexní vrstvy ZnS

- zvýšení vnější kvantové výtěžnosti o další faktor 2

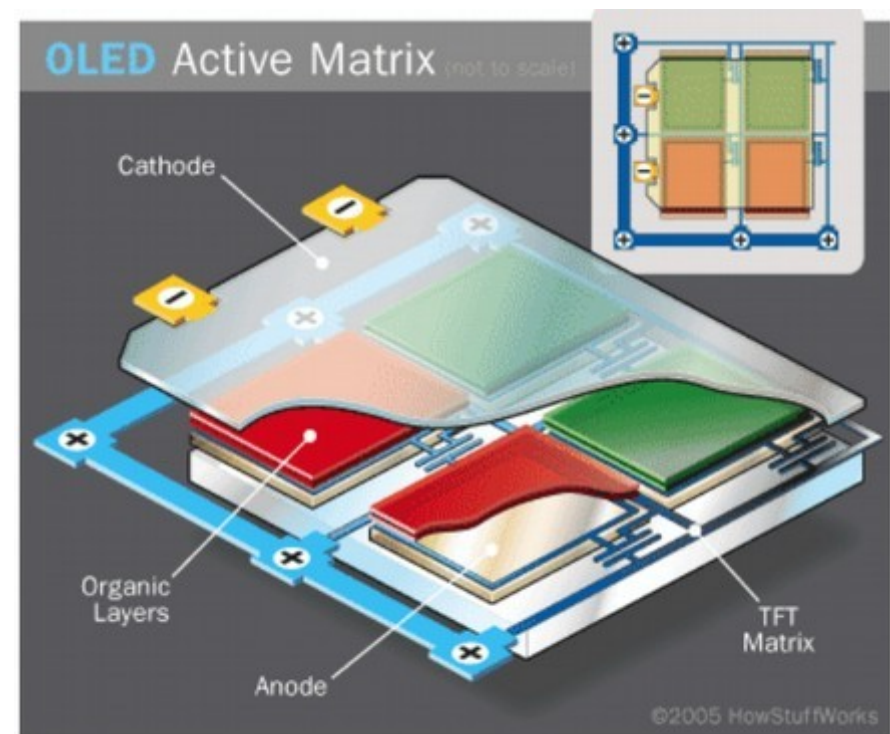
+ další optimalizace tloušťky vrstvy Alq3

# OLED displeje



OLED

OLED displej s pasivní maticí elektrod adresujících pixely



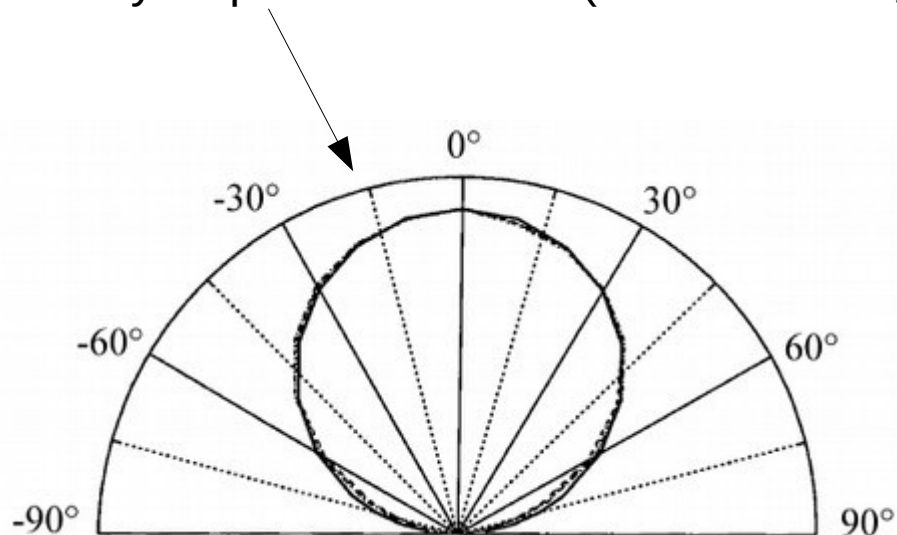
AMOLED

OLED displej s aktivní maticí – pod OLED vrstvou je vrstva transistorů na bázi tenkých vrstev (TFT) které adresují pixely  
← tranzistory vyžadují menší příkon na generování potřebného napětí a proudu na OLED pixelech  
- důležité pro velkoplošné displeje k redukci spotřeby

# OLED displeje

Výhody (AM)OLED displejů:

- Nižší spotřeba energie než LCD (AMOLED nepotřebují podsvit)
- Tenčí displej
- Vyšší kontrast (černější černá)
- Vyšší pozorovací úhel (téměř  $\pm 90$  deg)



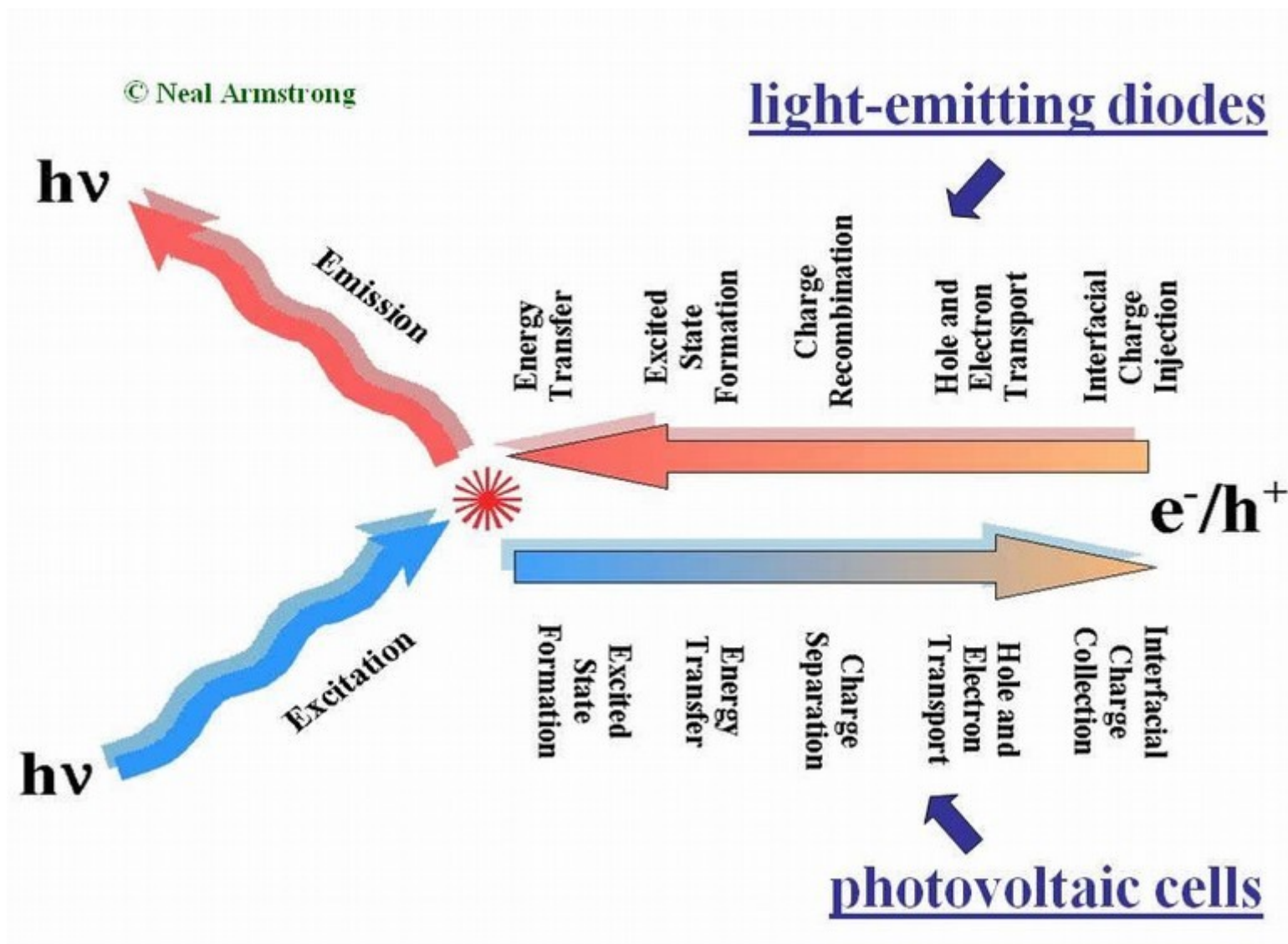
Úhlová závislost svítivosti OLED  
srovnaná s ideálním difuzním  
zdrojem (Lambertův kosinový zákon)  
- perfektní shoda

OLED vs LCD visualization



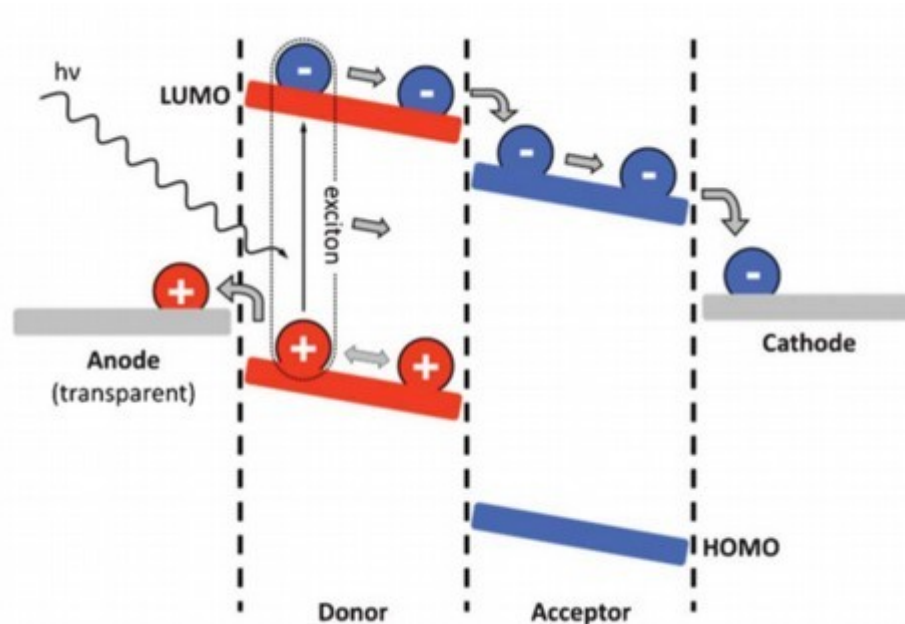
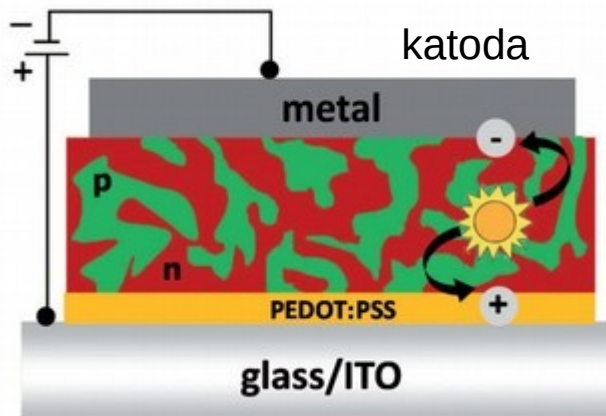
# Aplikace – OPV (organické fotovoltaické články)

# Organická fotovoltaika





# Organický fotovoltaický článek



Energiové schéma

- 1) Sluneční světlo vstupuje přes průhlednou anodu
- 2) Foton generuje exciton – e-h pár
- 3) Separace děr a elektronů na rozhraní p a n polovodiče
- 4) Transport nositelů k příslušným elektrodám  
→ napětí na elektrodách

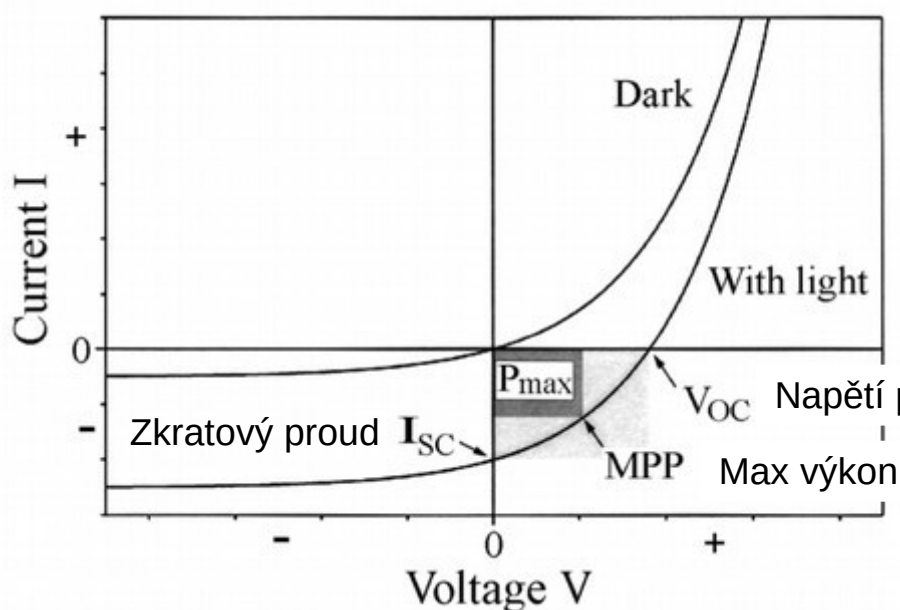
# Efektivita OPV

Efektivita = maximální elektrický výkon  $P_{\max}$  / příkon světla  $P_L$

$$\eta_p = \frac{P_{\max}}{P_L} = \frac{V_{oc} \cdot j_{sc}}{I_0} \cdot FF$$

$$FF = \frac{P_{\max}}{V_{oc} I_{sc}} = \frac{V_{MPP} I_{MPP}}{V_{oc} I_{sc}} \quad \text{Filling factor (křemíková technologi 0.75 – 0.85, OPV 0.5 – 0.6)}$$

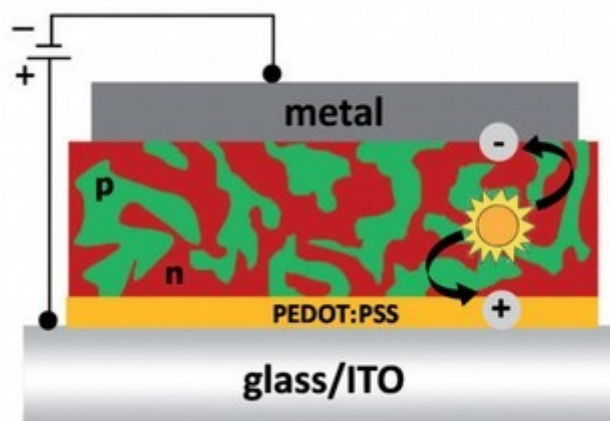
$j_{sc} = I_{sc}/A$  Hustota proud vztažená na aktivní plochu cely



# Optimalizace OPV článků

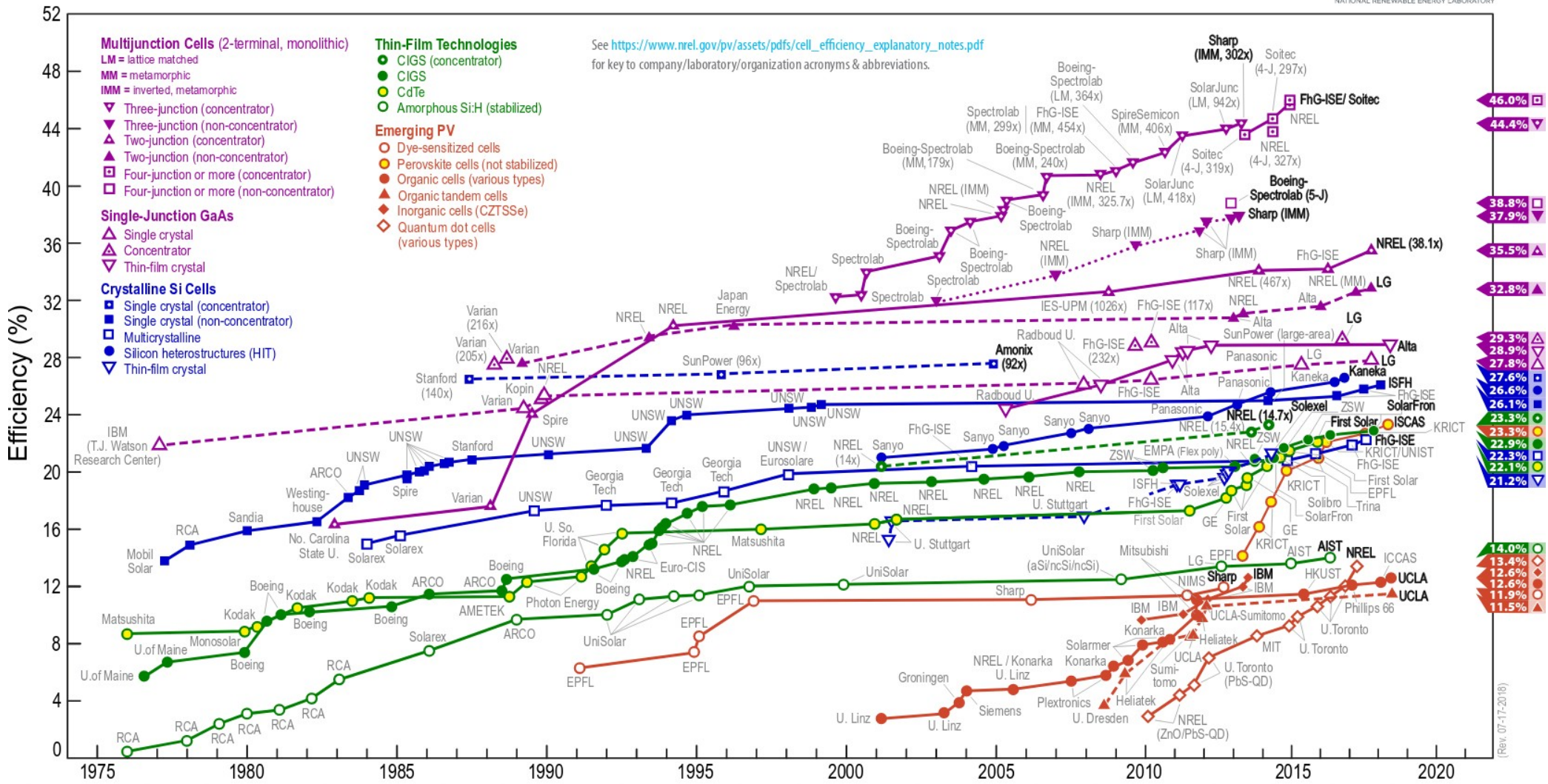
## Optmalizace:

- Maximalizace rozhraní p a n typu polovodiče – maximalizace separace náboje
- Maximalizace absorpce v celém spektrálním oboru – volba OP, tandemové cely
- Minimalizace dráhy nositelů náboje, aby nedošlo k zachycení náboje  
→ ztenčování vrstev – to jde, ale proti maximalizaci absorpce která vyžaduje tlusté vrstvy → kompromis



# Účinnost solárních článků

## Best Research-Cell Efficiencies



Komerční anorganické cely (polykrystalický Si) 14–19%

Src.: nrel.org

# Literatura

Organic Molecular Solids, M. Schwoerer, H. C. Wolf, 2005 WILEY-VCH  
Verlag GmbH & Co. KGaA

<https://www.oled-info.com/>

[www.howstuffworks.com](http://www.howstuffworks.com)

# Metody růstu

# Metody nanášení tenkých vrstev funkčních molekul

Z kapalné fáze (roztoku)

Spin-coating  
(lab)

Metoda  
Langmuira-Blodgettové  
(lab)

Tiskové techniky  
(průmysl)

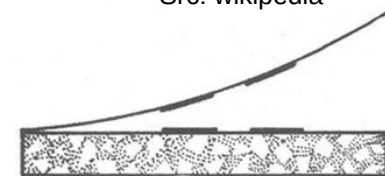
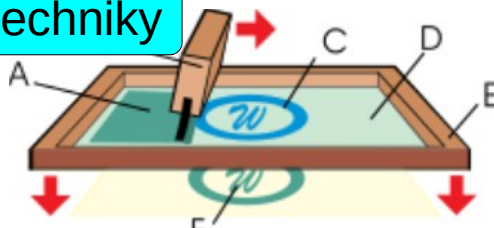
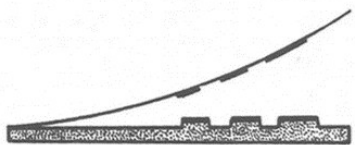
Roll to roll (R2R) techniky

Tisk  
inkoustovou tiskárnou

Depozice sublimací (ve vakuu)

Hot-wall epitaxe  
(lab)

Depozice  
molekulárním  
svazkem v UHV  
(lab)



Src: wikipedia

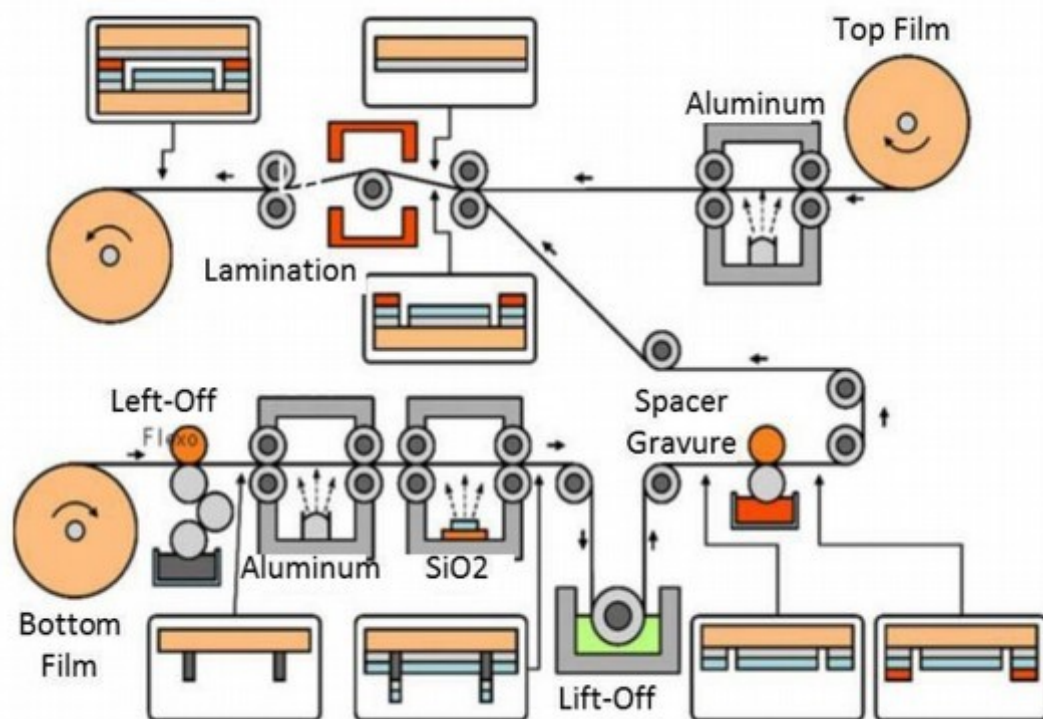
Flexotisk  
(tisk z výšky)

Sítotisk  
(screen printing)

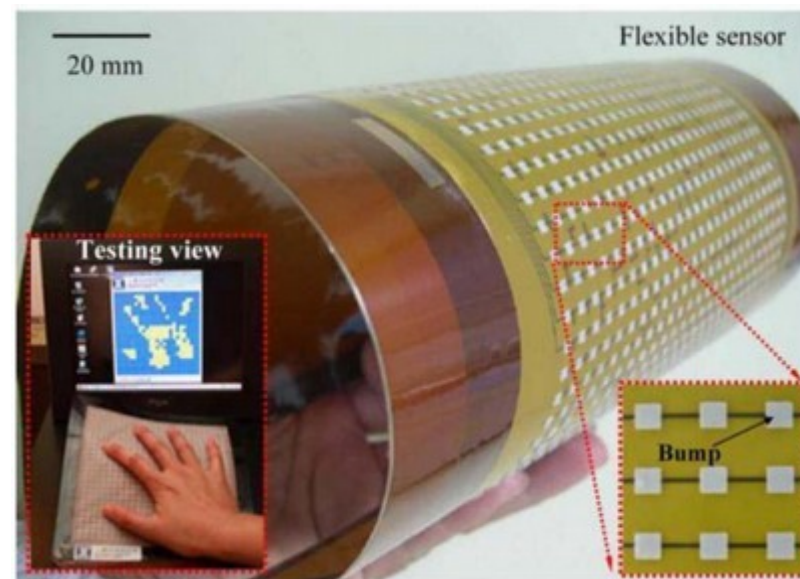
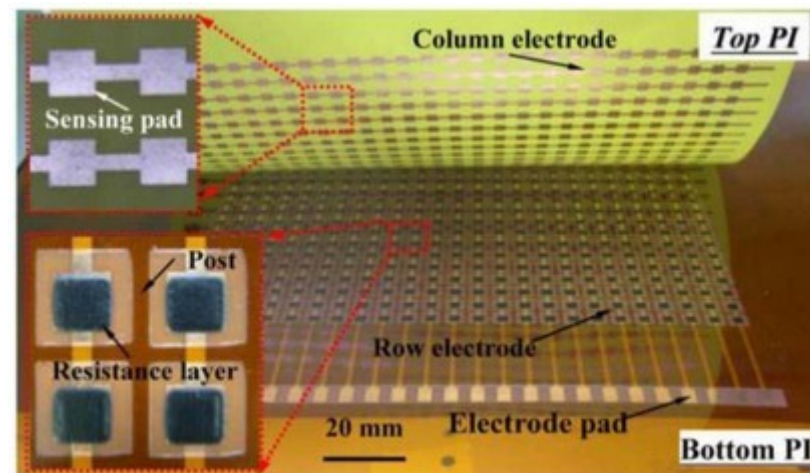
Tisk z „rytiny“  
(tisk z hloubky)

Offsetový tisk  
(tisk z plochy)

# Roll to roll technika



Typický R2R systém s různými depozičními technikami a fázemi vývoje struktury



Pole tlakových senzorů vytvořené sítotiskem



# „Inkoustová“ tiskárna

Tisk inkoustovou tiskárnou (inkjet printing)

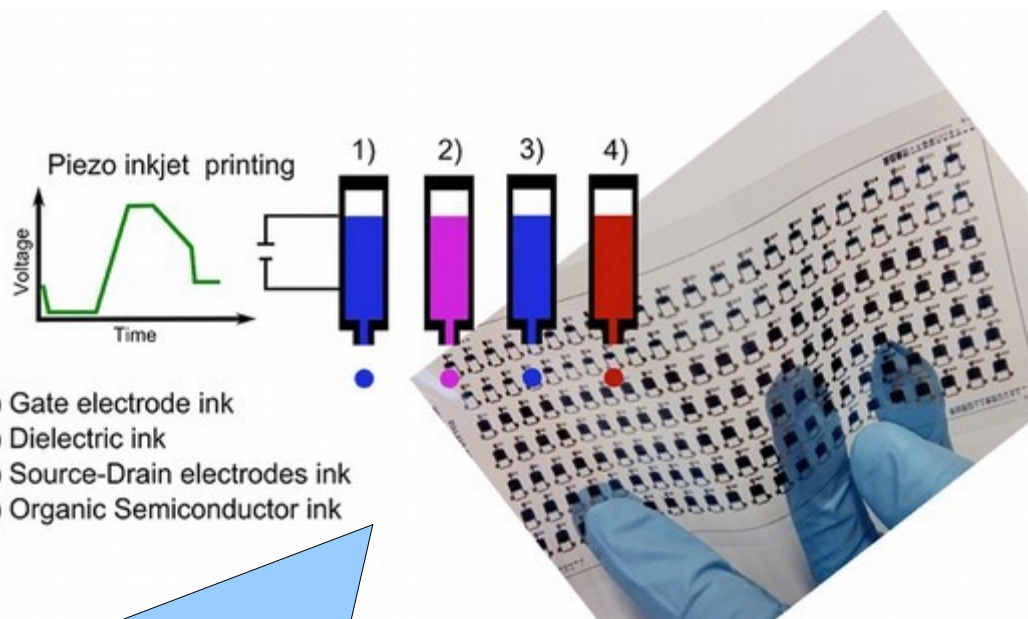
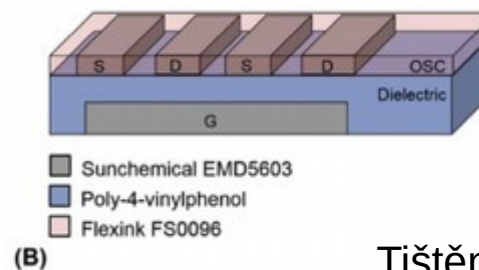
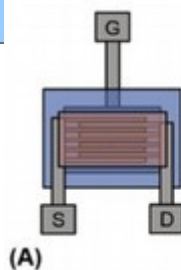
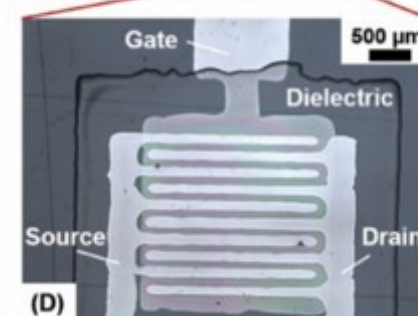
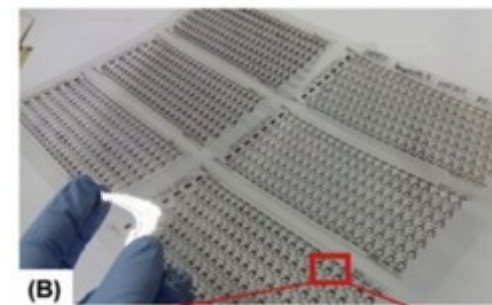
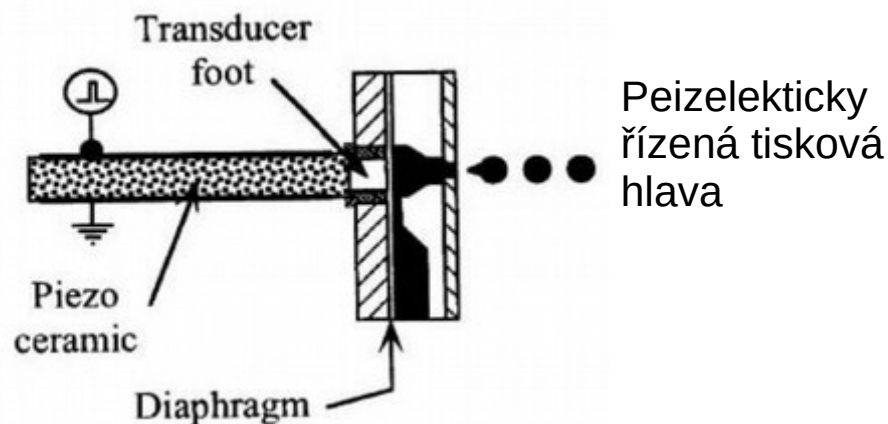


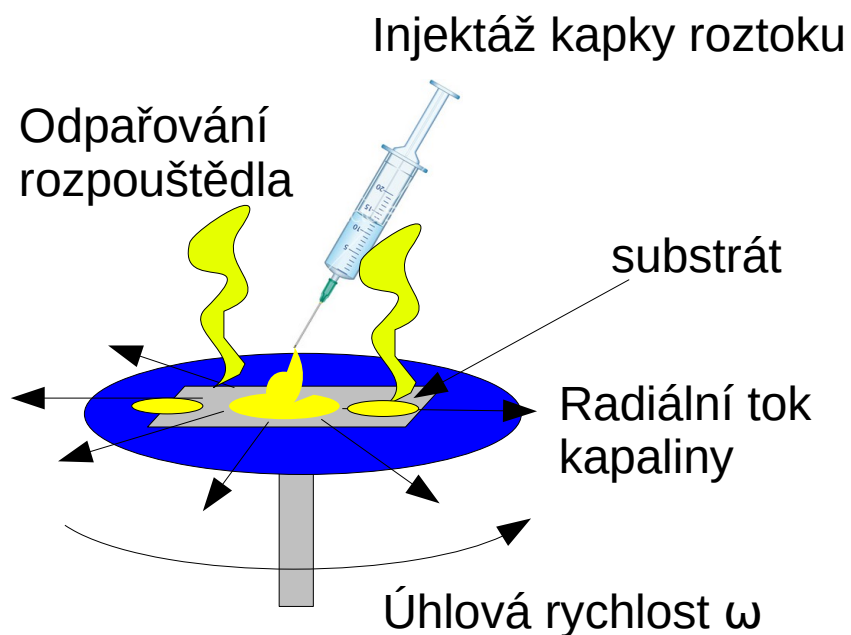
Schéma: tiskové hlavy naplněné materiály elektrody hradla, dielektrika, kolektoru-emitoru a organického polovodiče



Tištěné org. unipol. tranzistory

Src: Organic Electronics 30 (2016) 237

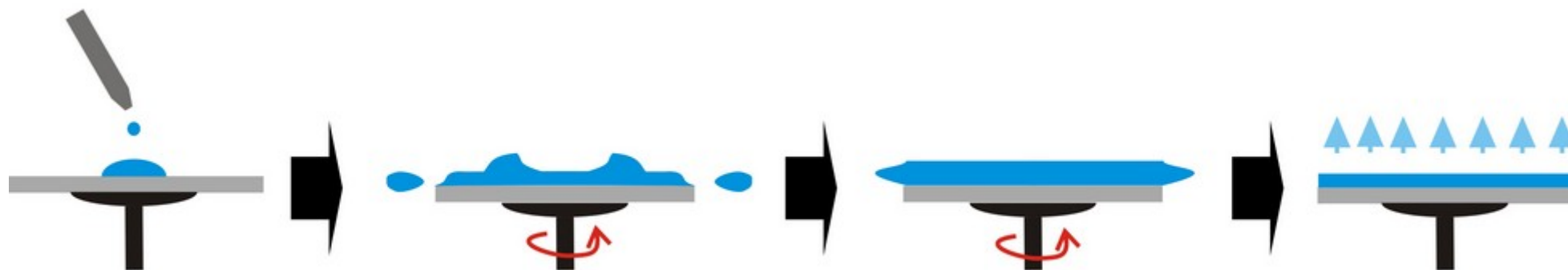
# Spin-coating



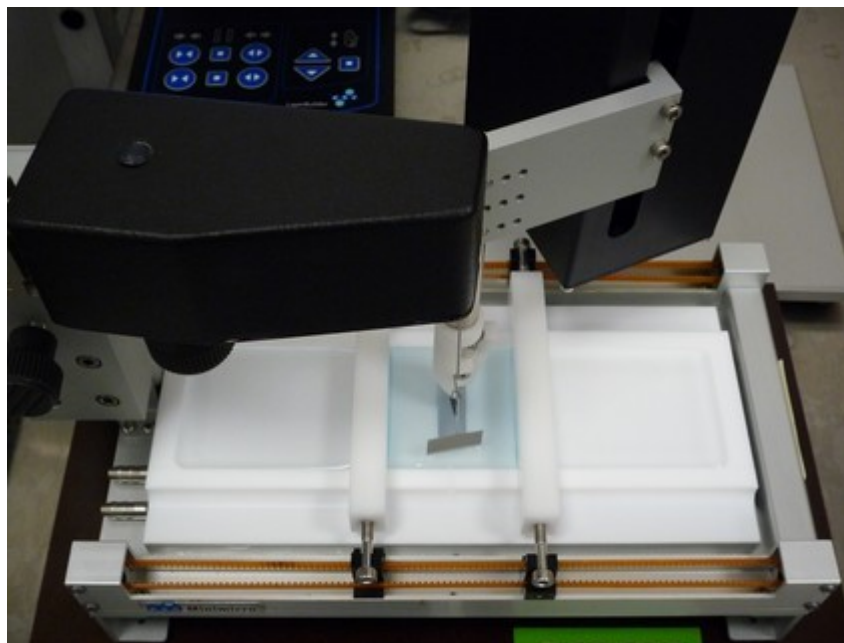
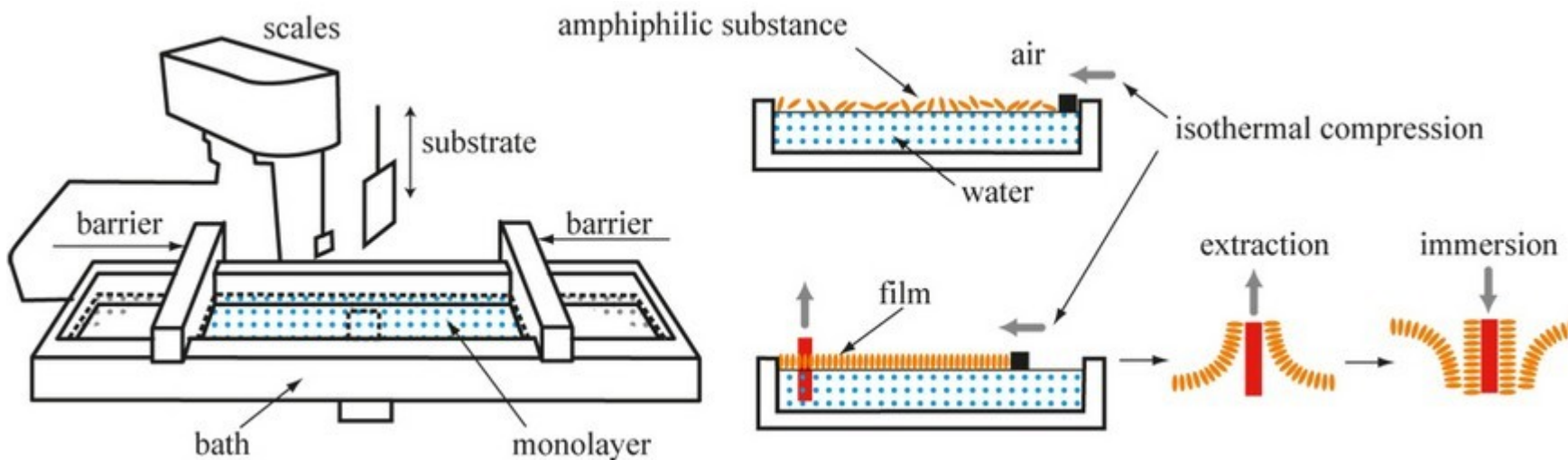
- Molekuly rozpuštěny v rozpouštědle
- roztok nanesen na rotující substrát
- tenká vrstva molekul je vytvořena po odpaření substrátu

Tloušťka a kvalita substrátu určena :

- rozpouštědle (teplotou varu, saturační koncentrací)
- rychlostí rotace
- viskozitou roztoku

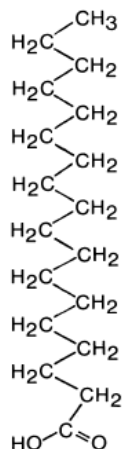
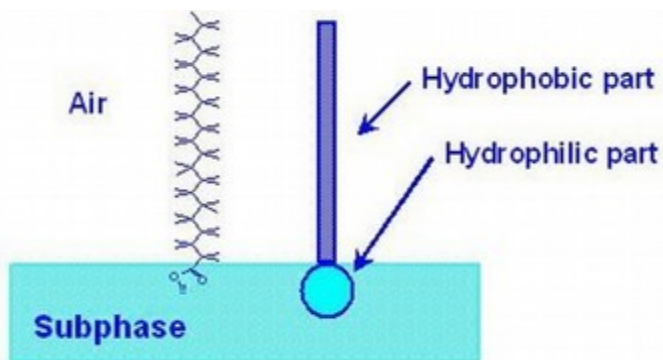


# Metoda Langmuira-Blodgettové

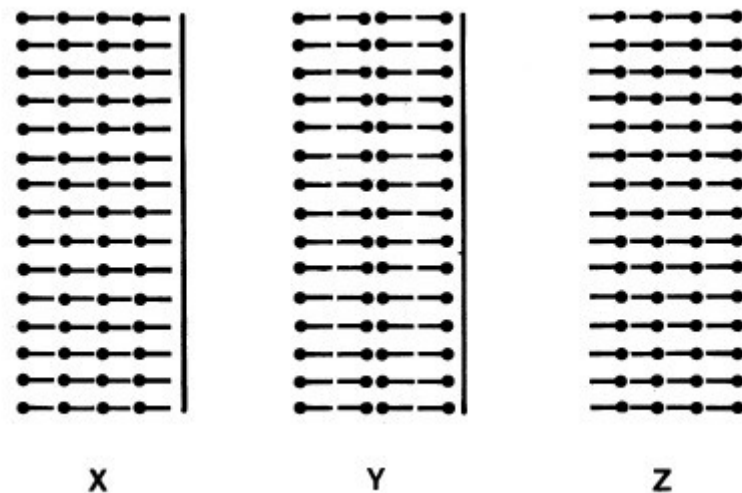
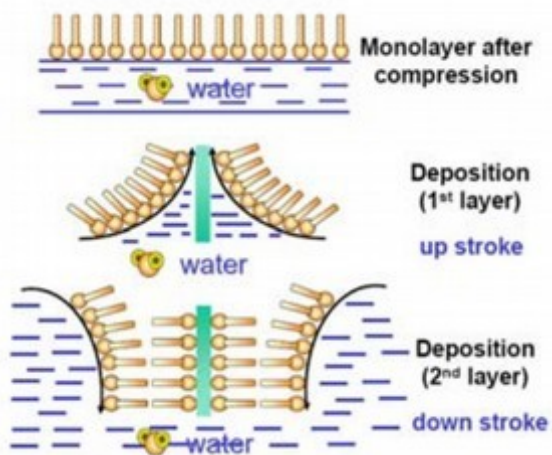


- 1) Amfifilní **molekuly rozpuštěny** v rozpouštědle (typicky chloroform)
- 2) **Roztok rozprostřen na vodní hladině** v Langmuirově vaničce
- 3) Odpaření rozpouštědla → **monovrstva molekul**
- 3) **Kompresce bariér** → dosažení požadovaného **povrchového napětí  $\Pi$**
- 4) **Substrát** (např. Si, křemenné sklo) visící na zanořovacím držáku je (opakovaně) zanořován a vynořován do/z vody → **formování LB mono/multivrstvy**

# Metoda Langmuira-Blodgettové



Metoda je vhodná především pro amfifilní molekuly (např. mastné kyseliny, fosfolipidy)



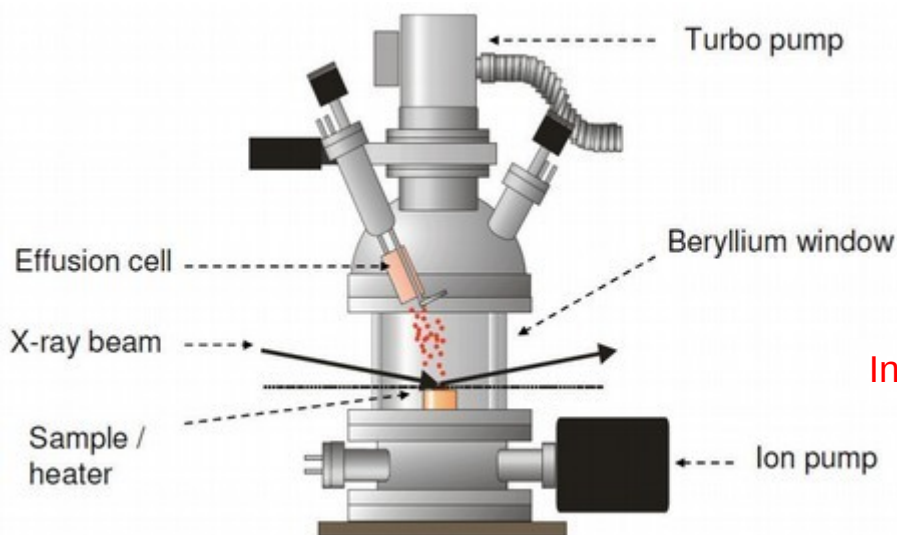
Dobrá kontrola tloušťky vrstvy –  
na úrovni monovrstev

Typy depozice

# Depozice molekulárním svazkem

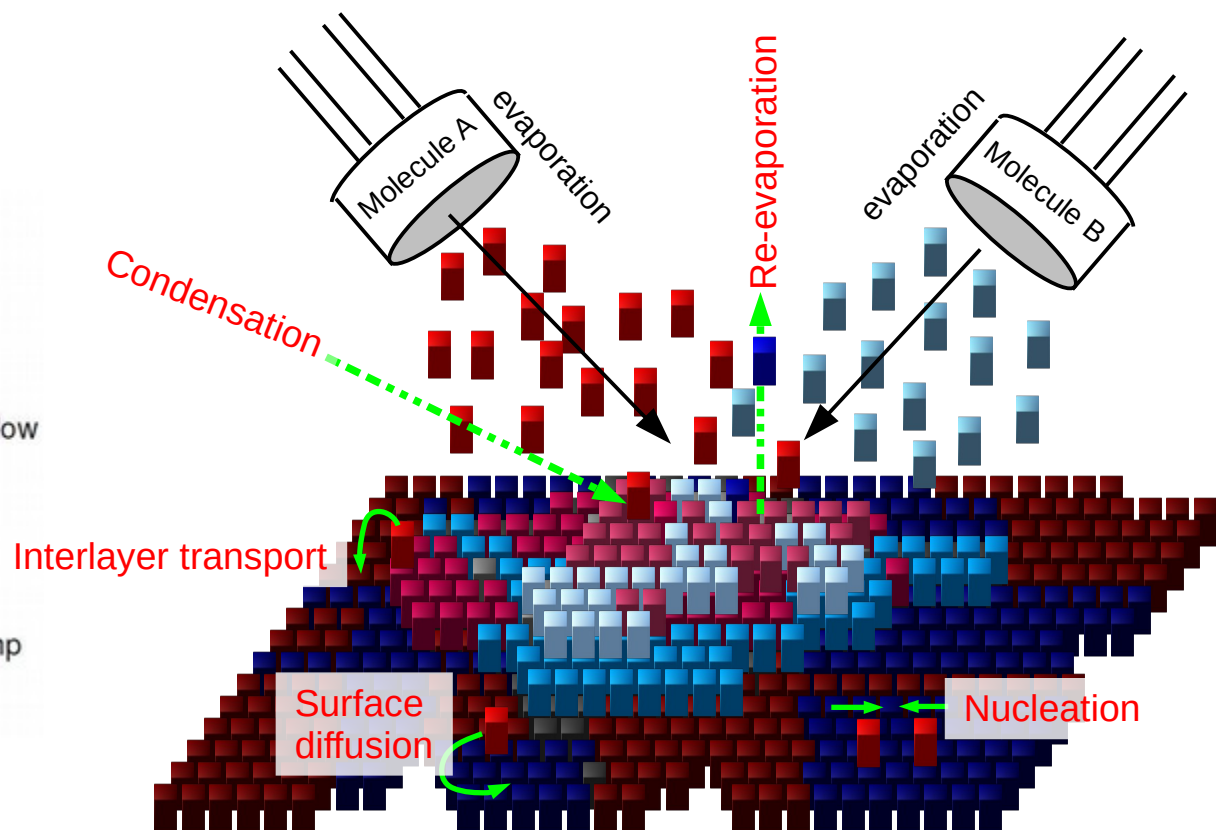
## Koevaporace - OMBD

### Přenosná komora pro OMBD



K.A. Ritley *et al*, Rev. Sci. Instr. **72**, 1453 (2001)  
S.R. Forrest, Chem. Rev. **97**, 1793 (1997)

- Sublimace molekul z Knudsenových cel v UHV
- Molekuly adsorbují na substrát a tvoří tenkou vrstvu
- Možnost míšení molekul koevaporací



Knudsova cela

# Depozice molekulárním svazkem



Knudsnova cela

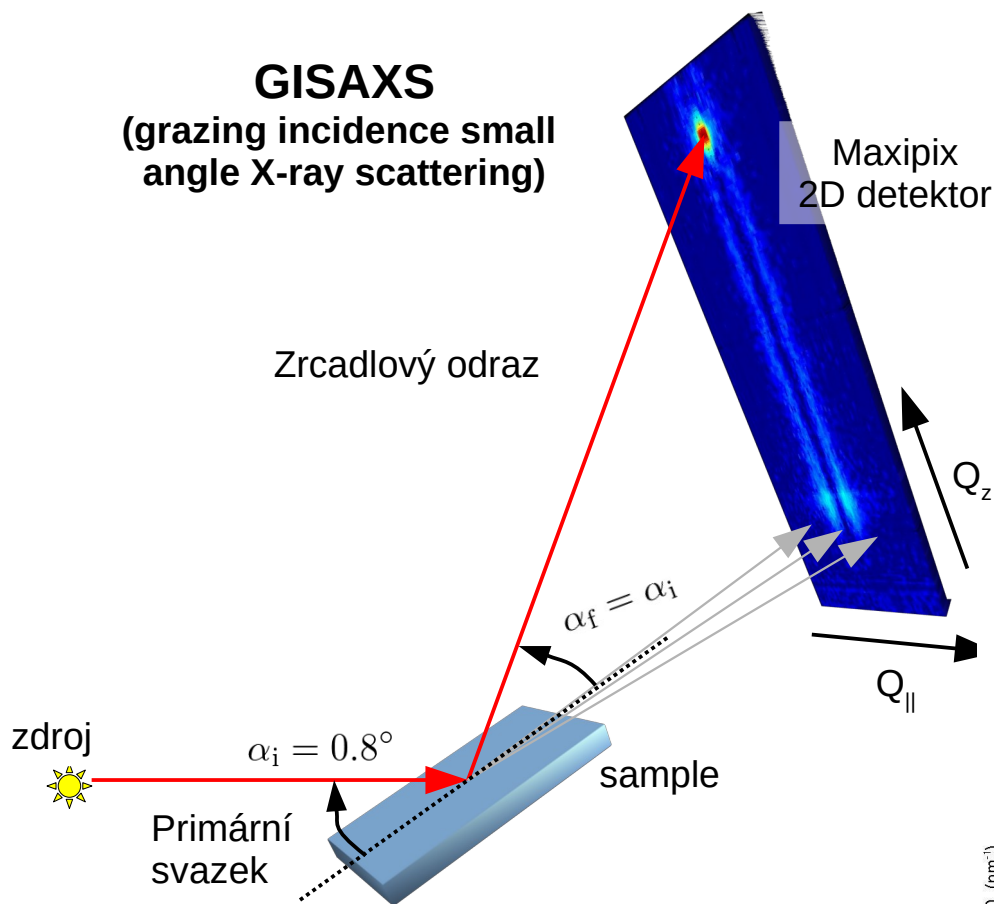


Depoziční komora v CF  
CEITEC Nano

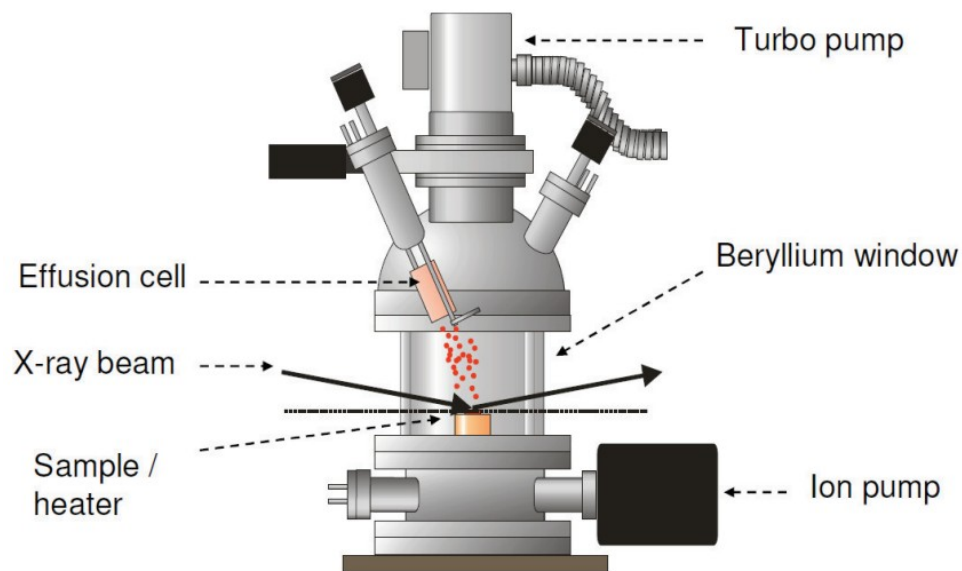
# Charakterizace tenkých vrstev funkčních molekul

# Maloúhlový rozptyl při malém úhlu dopadu

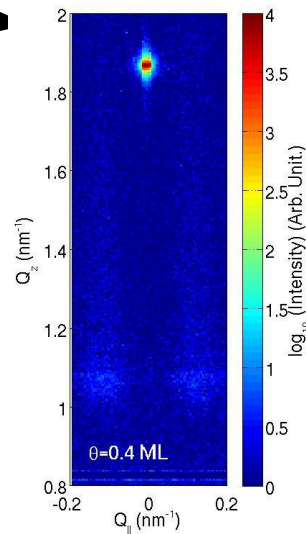
**GISAXS**  
(grazing incidence small angle X-ray scattering)



Měření na synchrotronu  
v ID10B laboratoři ( beam-line) na  
ESRF, Grenoble, France



A. Ritley *et al*, Rev. Sci. Instr. **72**, 1453 (2001)



Výstupní informace - vazebná  
energie mezi molekulami